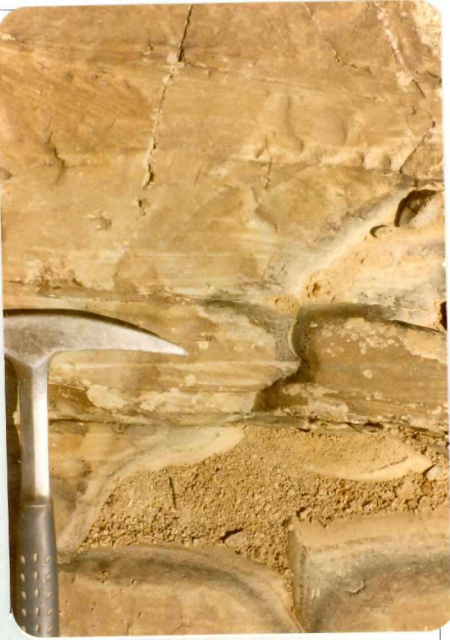


DM. 4. Vista parcial de un afloramiento de sedimentos anteordovícicos ( $PC_2$ ). Obsérvese la marcada estratificación, donde se aprecian la granoclasicación y secuencias incompletas (BOUMA), cortada por la esquistosidad de primera fase ( $S_1$ ).



DM. 2.

Detalle de sedimentos anteordenados vícicos ( $PC_2$ ) en donde se aprecian estratificaciones cruzadas, laminaciones y secuencias truncadas.





DM. 3.

Detalle de sedimentos anteordovícicos ( $PC_2$ ) con es-  
tructuras de tipo "load-casted" y "bolas y pillow"  
(REINECK, 1975).

DM.4.

Detalle de sedimentos anteordovícicos ( $PC_2$ ) con gradación por paquetes.<sup>2</sup> Obsérvese los lentejones de sedimentos, pelíticos más oscuros, dentro de un paquete detrítico más grosero.



OM.5.

Vista parcial de la unidad de conglomerados y areniscas de la base del Ordovícico ( $O_1$ ), en las proximidades del Cortijo de Hito, - tramo centro-sur de la Hoja.





DM. 6.

Detalle de un nivel de conglomerados de la unidad  $O_1$ .



Vista parcial de los términos inferiores del Ordovícico

- 1.- Conglomerados  $O_1$
- 2.- Cuarcita armónica ( $O_{12}$ ).



DM. 8.

Vista parcial de las areniscas y pizarras del -  
Ordovícico Medio ( $O_2$ ). -



DM. 9.

Detalle de un afloramiento de pizarras del Ordoví-  
cico Medio ( $O_2$ ). Obsérvese la marcada esquistosi-  
dad que presentan.



DM. 10.

Vista parcial de niveles cuarcíticos intercalados en la parte alta de la unidad O<sub>2</sub>.

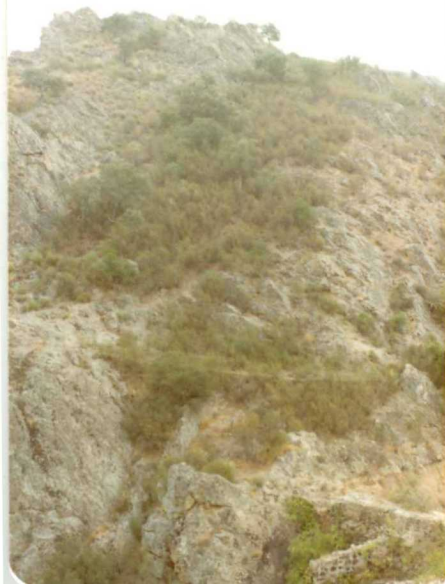


DM. II.

Cuarcitas del Ordovícico Medio-Superior ( $0_{2-3}$ ).

DM. 12.

Aspecto de las cuarcitas de la base del Silúrico, en la Charca de la Aceitunilla, al E. de la Hoja.





DM. 13.

Detalle de las cuarcitas de la foto anterior.

DM. 14.

Aspecto de las pizarras silúricas ( $S_1^{A-B}$ ), en las proximidades de la Charca de la Aceitunilla.



DM. .16.

Vista de un talud de la  
carretera Aliseda-Albuquer  
que donde se observa el con  
tacto entre:



- 1.- Pizarras y cuarcitas  
( $S_1^{A-B}$ )
- 2.- Cuarcitas en bancos -  
( $S^B-D_1$ )



DM. 45.

Detalle de la foto anterior. Obsérvese las intercalaciones cuarcíticas que presenta esta unidad pizarrosa ( $S_1^{A-B}$ ).



DM. 17.

Detalle de la unidad cuarcitas en bancos ( $S^B - D_1$ )  
de la foto anterior.



DM. 18. Vista de las pizarras y cuarcitas del Devónico Inferior ( $D_1^{qp}$ ), en la carretera Aliseda-Alburquerque. Flanco N. del sinclinalorio de San Pedro.



DM. 19.

Vista parcial de la foto anterior, donde se -  
pueden observar los niveles cuarcíticos inter-  
calados ( $D_1qp$ ).

DM. 20.

Detalle de la foto anterior  
Obsérvese la marcada esquis-  
tosidad de las pizarras.





DM. 22.

Vista parcial de las cuarcitas devónicas ( $E_1$ ).



DM. 21.

Aspecto del crestón cuarcítico ( $D_1$ ) y del contacto con la unidad suprayacente ( $D_{1p}^1$ ), en el flanco N. del sinclinalorio de San Pedro.



DM. 23.

Detalle de las cuarcitas devónicas de la foto anterior ( $D_1$ ).



DM. 24.

Vista de afloramientos devónicos en el flanco N. del sinclinario de San Pedro.

1.- Cuarcitas ( $D_1$ )

2.- Pizarras y cuarcitas( $D_1P$ ).



DM. 25.

Vista de diversos afloramientos devónicos, en la c.c. Aliseda-Alburquerque.

- 1.- Cuarcitas ( $D_1$ ).
- 2.- Pizarras y cuarcitas ( $D_1P$ ).
- 3.- Cuarcitas ( $D_1q$ ).



DM.26.

Vista parcial de pizarras y cuarcitas ( $D_1P$ ), en  
la c.c. Aliseda-Alburquerque.

DM. 27.

Vista parcial de un nivel  
más cuarcítico de la uni-  
dad ( $D_1 P$ )





DM. 28.

Vista parcial del crestón cuarcítico que contiene fauna de *Spirifer* ( $D_1q$ ).



DM. 29.

Detalle de un nivel cuarcítico de la fotografía anterior ( $D_1q$ ).



DM. 30 .

Aspecto de un nivel "Tufítico" del Carbonífero ( $H^A$ ).

DM. 32.

Detalle de las pizarras  
violáceas del Carbonífe-  
ro Inf. (H<sup>A</sup>).





DM. 31.

Detalle del afloramiento de "tufitas" de la fotografía anterior (H<sup>A</sup>).



DM. 33.

Vista parcial de un afloramiento de calizas carboníferas ( $H^A$ ) al borde de la c.c. Aliseda-Alburquerque.

DM.34.

Detalle de la fotografía anterior donde se observa restos de fauna de crinoideos - (H&A).





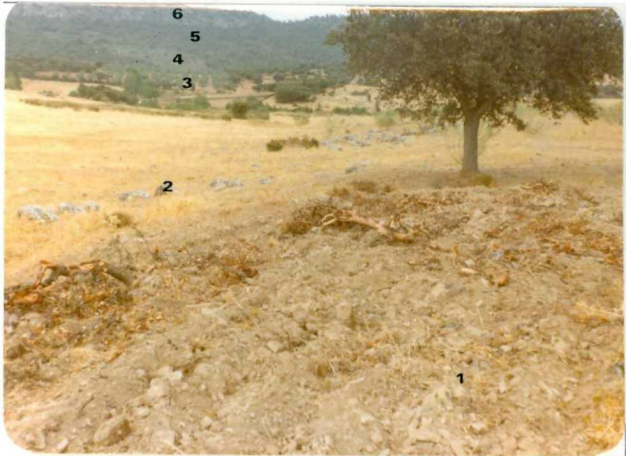
DM. 35.

Típico aspecto de un afloramiento de calizas car  
boníferas ( $H_6$ ).



DM. 36.

Detalle de un nivel de la fotografía anterior.



DM. 37. Vista general de diversas unidades de carboníferos y devónicos.

- 1 Pizarras carboníferas ( $H_f$ ).
- 2 Calizas carboníferas ( $H_c$ ).
- 3 Pizarras devónicas ( $D_{1-3}$ )
- 4 Cuarcitas de *Spirifer* ( $D_1q$ )
- 5 Pizarras y cuarcitas devónicas ( $D_1p$ )
- 6 Cuarcitas devónicas ( $D_1$ )



DM. 38.

Aspecto de las pizarras carboníferas con que culmina la serie paleozoica en la presente Hoja.

DM. 39.

Aspecto de los depósitos pliocuaternarios (tipo -  
raha) ( $T_2^2$ -Q) en un afloramiento al Sur de La Hoja.





DM. 40.

Detalle del afloramiento representado en la fotografía anterior.



DM. 41.

Aspecto de los derrubios de ladera (QL) que se adosa a los relieves paleozoicos.

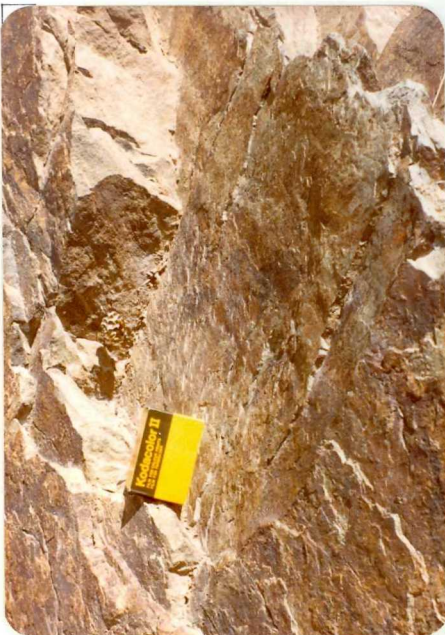


DM. 42.

Vista parcial de una cantera abierta en Cornubia  
nitas ( $K_5$ ). donde se observa con claridad la es-  
tratificación y los planos de esquistosidad ( $S_1$ ) (1).

DM. 43.

Detalle de la fotografía anterior ( $K\xi$ ).





#### DM. 44.

Contacto entre granitos porfídicos ( $p\gamma^2_{bm}$ ) y - cornubianitas ( $K\xi$ ).

1º Granito biotítico-moscovítico inequigranular y porfídico ( $p\gamma^2_{bm}$ ).

2º Cantera de cornubianitas de la fotografía n° 42 ( $K\xi$ ).



DM. 45.

Panorámica de afloramientos de granito de grano grueso y leucocrático ( $2 Y^2$ ), en el límite NE de la Hoja.

**DM. 46.**

Detalle de un afloramiento de la fotografía anterior.





DM. 47.

Típico aspecto de un afloramiento de granitos  
granodioritas ( $Y_{nq}^2_{bm}$ ).



DM. 48.

Detalle de la fotografía anterior.



DM. 49.

Aspecto de un delgado dique, de pórfito (PO) -  
en las proximidades de la estación de ferrocarril Arroyo-Malpartida.

**DM.50.**

Detalle del dique de la fotografía anterior.





DM.51.

Aspecto general de la cantera de cornubianitas (Kg) de la fotografía nº 42, en las proximidades de la localidad de Arroyo de la Luz.

DM.52.

Aspecto de la extracción  
de material para la presa  
de Aliseda. Cuarcitas y  
Pizarras ( $S^B D_1$ ).





DM. 53.

Vista parcial de un dique de diabasa (ε)